միխնիկական գիտութ, «երիա

XIX. Nº 5, 1966

Серия технических наук

ЭЛЕКТРОТЕХНИКА

Ф. А. ГРИГОРЯН, Т. П. АСАТРЯН

РАСЧЕТ РЕЖИМА ПАРАМЕТРОНА НА ИНДУКТИВНОСТЯХ С ДВУХСТУПЕНЧАТЫМИ ЗАВИСИМОСТЯМИ ОТ ТОКА

Пирокое применение параметрических устройств в радиоэлектронике и вычислительной технике требует уточнения представления переходного процесса в них. В отличие от обычного полиномного представления нелинейных индуктивностей параметрического устройства [1, 2], в данной работе приняти характеристика нелинейности магинтного материала B = f(H) и виде линии с двумя изломами, что приводит к выделению зон действия отдельных изломон и образованию этапов переходного процесса при сохранении основных свойств параметрона в нелинейном представления

1. Схема нозбуждения субгармонических колебаний и характеристика магнитного материала приведены на рис. 1. На рис. 2 приве-

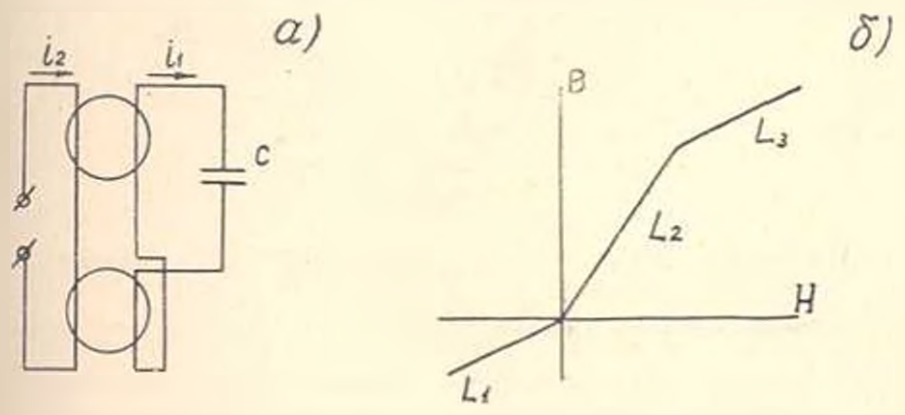


Рис. 1. а. схена параметрона. б. характеристика магнитного материада.

дены кривые тока подкачки — субгармонического тока t_1 с угловым сдвигом γ относительно t_2 и суммарных токов t_2-t_1 , t_1-t_1 отдельных сердечников.

Высотой верхней горизонтальной линии с отметкой I_n на рис. 2 определяется напряженность поля соответствующая точка верхнего излома характеристики B=f(H), приведенной на рис. 16. На рис. 2. отмечены участки времени t_1t_4 , t_2t_4 и когда в субгармоническом контуре появляются э. д. с. от тока подкачки вследствие разности индуктивностей сердечников. Первый участок обусловлен из-

менением индуктивности из-за верхнего излома характеристики $B=f\left(H\right) .$ второй и третий — инжини изломом.

Для определения t₁t₄ согласно рис. 2 можно написать:

$$I_{2m}\sin 2\omega t_k + I_{1m}\sin(\omega t_k - \varepsilon) = I_n, \tag{1}$$

где t_* принимает значения t_1t_* соответственно двум решениям уравнения (1);

 Соотнетственно максимальное значение токов подкачки и субгармоники.

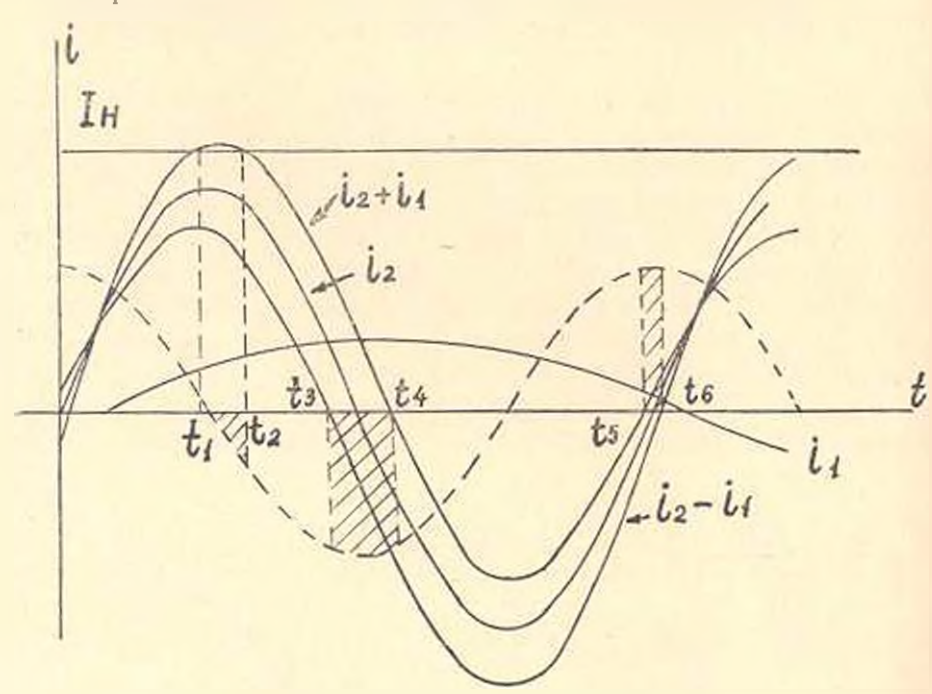


Рис. 2. Кривые токов нараметрона и зоны действия подкачки (штриховка).

Учитывая близость участка t_1t_2 к $\frac{\pi}{4}$, при совмещении начала отсчета с началом периода полкачки, из выражения (1) получим:

$$\cos \omega t_k = \cos \frac{\pi}{4} - \frac{I_m}{4I_{2m}} \sin \frac{\pi}{4} \cos \left(\frac{\pi}{4} - \pi\right) - \left(\frac{I_{1m}}{2I_{2m}}\right)^{1/4} \sin^{1/4} \left(\frac{\pi}{4} - \varphi\right) \cdot \sin \frac{\pi}{4}. \tag{2}$$

Времена t_0 и t_0 , соотнетствующие прохождению суммарных токов отдельных сердечников через нулевые значения, определяются из выражения:

$$I_{2m} \sin 2 \omega t_1 \mp I_{1m} \sin (\omega t_1 - \varphi) = 0,$$
 (3)

где t_I принимает значения t_3t_4 соответственно двум решениям уравнения (3). На уравнения (3) получим:

$$\cos \omega t_1 = \pm \frac{I_{1m}}{2I_{2m}} \cos \varphi. \tag{4}$$

Времена t_5 и t_6 определяются из уравнения (3), при отбрасывании членов малого порядка и учете близости участка t_5t_6 к π , при этом t_m принимает значения t_5t_6 соответственно решениям уравнения (3):

 $\sin \omega t_m = \pm \frac{T_{1m}}{2J_{2m}} \cdot \sin \tau. \tag{5}$

Обозначим через L_1 , L_2 и L_1 соответственно индуктивности первого, второго и третьего участка характеристики магнитного материала, приведенной на рис. 16.

Для контура субгармоники в промежутке времени с неизменными индуктивностями можно написать:

$$\frac{d}{dt} \cdot L_1 (i_1 - i_2) + \frac{d}{dt} L_2 (i_1 + i_2) + \frac{1}{C} \int L_1 dt = 0.$$
 (6)

После диференцирования уравнение (6) преобразуется в

$$(L_1 + L_2) \frac{d^2 i_1}{dt^2} + \frac{1}{C} i_1 = \pm (L_1 - L_2) \frac{d^2 i_2}{dt^2}. \tag{7}$$

Ввиду линейности системы до и после изменения индуктивностей при малом отличии t_1 и t_2 полный ток от ЭДС зон t_1t_2 , t_2t_3 и можно представить в ниде суммы токов t_k , t_1 и t_m от соответственных отдельных зон.

Решая уравнение (7) с помощью интеграла Дюямеля, для тока i_k , соответствующий интервалу t_k , t_k на рис. 2 после интегрирования получим:

$$L = 2I_{-1} \frac{L_{-1}}{L_{0}} \left[\cos 2 \omega t_{1} \sin \omega_{0} (t - t_{1}) - \cos 2 \omega t_{2} \sin \omega_{0} (t - t_{2}) - \frac{4}{5} (\cos^{3} \omega t_{1} \cdot \sin \omega_{0} t - \cos^{3} \omega t_{2} \sin \omega_{0} t + \sin \omega_{0} t + \sin^{3} \omega t_{1} \cdot \cos \omega_{0} t - \sin^{3} \omega t_{2} \cdot \cos \omega_{0} t \right]$$

$$- \sin^{3} \omega t_{1} \cdot \cos \omega_{0} t$$
(8)

где w_0 и L_0 соответственно частота и индуктивность колебательного контура.

В силу (2), при учете малости угла сдвига субгармоники относительно подкачки из выражения (8) находим:

$$l_{k} = 2 I_{2m} \frac{L_{2} - L_{3}}{L_{0}} \left[-\frac{1}{6} \left(\frac{I_{1m}}{I_{2m}} \right)^{\alpha} \sin^{\alpha} \left(\frac{\pi}{4} - \varphi \right) \sin \omega t + 2 \left(\frac{I_{1m}}{I_{2m}} \right)^{\alpha} \sin^{\alpha} \left(\frac{\pi}{4} - \varphi \right) \cos \omega t \right]. \tag{9}$$

Подставляя значения $\cos \omega t_1$ и $\cos \omega t_m$ соответственно из выражений (4) и (5) в (8) и решая с гем же приближением, для интервалов времени t_3 , t_4 ; получим:

1- 3363.

$$i_{l} = 2 I_{2m} - \left(\frac{I_{m}}{I_{2m}} \cos \varphi - \frac{1}{6} \frac{I_{l}}{I_{2m}} \cos^{3} \varphi\right) \sin \omega t,$$
 (10)

$$i_m = 2I_{2m} \frac{L_2 - L_1}{L_0} \left(\frac{I_{1m}}{I_{2m}} \sin \varphi - \frac{1}{\sigma} \frac{I_{1m}^3}{I_{2m}^2} \sin^3 \varphi \right) \cos \omega t.$$
 (11)

Обозначим через $i=rac{I_{1m}}{I_{2m}}$ приведенный к подкачке ток субгар-

моники, а через M_1 ток субгармоники от э. д. с. всех трех зон одного периода подкачки, с косинусондальной и синусондальной составляющими соответственно f_1 и f_2 .

Согласно векторной диаграмме рис. 2в для тока ΔI_1 и прироста фазы субгармоники $\Delta \phi$ можно написать:

$$\Delta I_1 = f_2 \cos \gamma + f_1 \sin \gamma. \tag{12}$$

$$\Delta z = \frac{1}{I_{1m}} (f_1 \cos z - f_2 \sin z). \tag{13}$$

После деления обеих сторон уравнений (12) и (13) на половину периода субгармоники, согласно [3] левые части уравнений можно заменить производными:

$$\frac{di}{dt} = \frac{9}{T} (f_2 \cos \varphi + f_1 \sin \varphi), \tag{14}$$

$$\frac{df}{dt} = \frac{2}{T I_{10}} \left(f_1 \cos \varphi - f_2 \sin \varphi \right), \tag{15}$$

где f_1 и f_2 определяются из уравнений (9), (10) и (11)

$$f_1 = 2 \frac{L_2 - L_1}{L_0} \left(i \sin \varphi - \frac{1}{6} \sin^3 \varphi \right) + 4 \frac{L_2 - L_3}{L_0} i^{iq} \sin \left(\frac{\pi}{4} - \varphi \right), \quad (16)$$

$$f_{1} = 2 \frac{L_{1} - L_{1}}{L_{0}} \left(\iota \cos \varphi - \frac{i^{3}}{6} \cos^{3} \varphi \right) - \frac{1}{3} \frac{L_{1} - L_{3}}{L_{0}} \iota \cdot \sin^{3} \left(\frac{\pi}{4} - \varphi \right).$$
(17)

Полученные уравнения являются нелинейными дефференциальными уравнениями для фазы и амплитуды субгармонического колебания.

2. Рассмотрим рост колебаний на основе полученных соотношений (9), (10) и (11) и дифференциальных уравнений (14) и (15).

При пулевой фазе начальных малых колебаний рост субгармоники определяется выражением (10) для i_t . Здесь отсутствует вследствие исключения второго излома, ввиду малости величины субгармоники, а — вследствие нулевой фазы начальных колебаний.

Решением дифференциального уравнения для тока субгармоники, соответствующего уравнению (10) является:

$$\dot{t}^2 = \frac{1}{1 + \frac{1}{6} \, \dot{t}_0^2 \, (e^{2at} - 1)}, \tag{18}$$

rae

$$a = 4 \frac{L_1 - L_1}{L_0 T}$$
:

_____ амплитуда тока в субгармоническом контуре в начале переходното процесса. Решение (18) действительно при малых величина х токов согласно исходным предположениям.

При возрастании субгармоники до значения при котором суммарный ток i_1+i_n достигает второго излома характеристики B=f(H), в субгармоническом контуре поянляются токи i_k и i_m . Из векторной диаграммы рис. За, кривых рис. Зб и уравнений (9), (10) и (11) следует, что слагающая тока I_n обусловленияя вторым изломом, вызывает сдвиг фазы субгармоники и ограничение роста амплитуды.

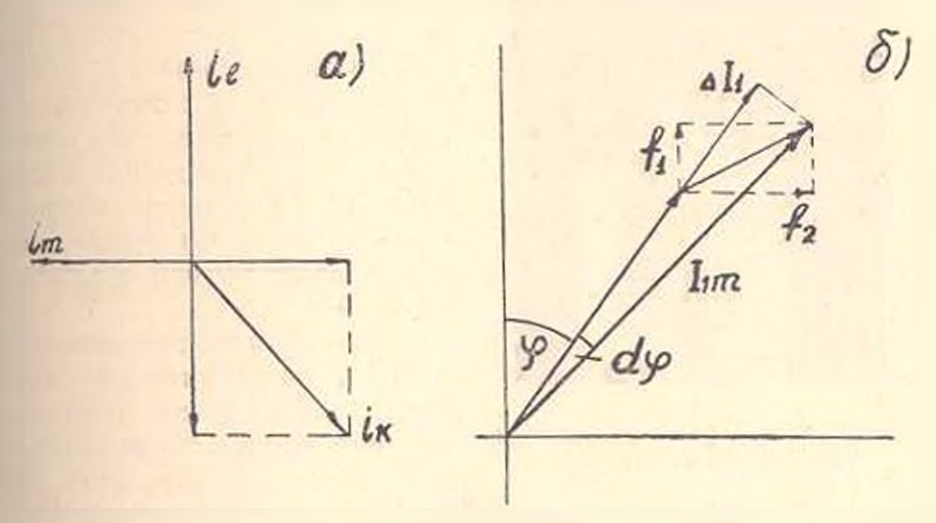


Рис. З. а. Векторная диаграмма токов зон. 6) Векторная диаграмма приращения тока субгармоники.

Ток вызванный сдвигом фазы субгармоники обусловленным, в свою очередь током действует в сторону восстановления начальной фазы.

До достижения суммарного тока i_1+i_2 второго излома, согласно отмеченному выше фазовый сдвиг субгармоники остается нулевым. Следовательно, для момента непосредственно после достижения точки излома, уравнение (14) при учете (17) приводится к виду

$$\frac{di}{dt} = \frac{2}{T} \left[2 \frac{L_0 - L_0}{L_0} \left(i - \frac{1}{6} i^3 \right) - \frac{1}{3} \frac{L_0 - L_0}{L_0} i^5 \sin^5 \frac{\pi}{4} \right]$$
 (19)

Выражение (19) показывает возможность резкого установления амплитуды при

 $\frac{L_z - L_z}{L_z - L_t} > 1.$

Определим изменение фазы в начале достижения второго изломв. Из уравнений (15), (16) и (17) при 1 С. 1

$$\frac{d\sigma}{dt} = \frac{8I_{2m}}{T} \frac{L_z - L_z}{L_0} t \cdot \sin^2\left(\frac{\pi}{4} - \sigma\right). \tag{20}$$

Нтак переходный процесс фазы начинается с достижением второго излома. На рис. 4 приведена осциллограмма установления пара-

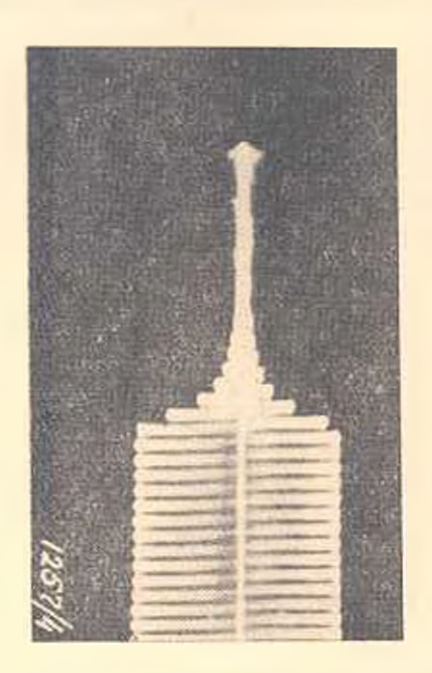


Рис. 4. Осциялограмма установления параметрических колебании

метрических колебаний параметрона на цилиндрических ферромагнитных пленках электролитического осаждения. Характер подъема амплитуды субгармонических колебаний соответствует выражению (18), а резкая остановка роста - согласпо выражению (19) - достижению второго излома. Укороченные дифференциальные уравнения работы (1) принодят к сходной картине переходного процесса. В данной задаче отчетливо выделяются зоны и напоавления действия подкачки и влияние отдельных изломов магнитной характеристики в процессе установления.

Резюмируя изложенное можно отметить, что представление нелинейной индуктивности параметрона в виде линии с двумя изломами выделяет зоны и направления дей-

ствия тока подкачки, обусловленные отдельными изломами. Субтармонические колебания представляются в данном случае двума нелинейными дифференциальными уравнениями первого порядка. Первый излом характеристики B=f(H) обуславливает возбуждение субтармонических колебаний, с ростом амилитуды по закону близкому к экспоненциальному при малых амплитудах колебаний. С ростом субтармонических колебаний зона действия подкачки расширяется. Экспериментальная характеристика роста колебаний и установления соответствует данному представлению.

Второй излом характеристики B = f(H) обуславливает сдвиг фазы субгармоники и может привести к установлению субгармонических колебаний.

Поступило 16.1Х.1965.

a. z. arpaneaud, p. a. uduseaud

ՊԱՐԱՄԵՏՐՈՆԻ ՌԵԺԻՄԻ ՀԱՇՎՈՒՄԸ, ԵՐԲ ԻՆԳՈՒԿՏԻՎՈՒԹՅՈՒՆՆԵՐԻ ԿԱՊԸ ՀՈՍԱՆՔԻՑ ԵՐԿԱՍՏԻՃԱՆ Է

Uddnhaid

80ւյց է արված, որ ևրը ինդուկաիվությունները կապված են հոսանքի հետ երկաստիձան ձևով, ապա երկրորդ աստիձանը առաջացնում է ֆազային շեղում և կարող է բերել առաջին աստիձանի շնորհիվ առաջացած սուրհարմոնիկ տատանման ամպլիտուդայի հաստատմանը։

Տվյալ խնդրադրումը բացահայտում է ինչպես ժամանակի դոտիները, սրոնցում սնման շղքան կապվում է սուբ Հարմոնիկ շղքայի հետ, այնպես էլ արտան շղքայի ազդման ուղղությունները։

Տատանման ամպլիտուգայի մեծացման հետ զուգահեռ լայնանում են ազդման գոտիները։ Պարամետրոնային տատանման համար ստացված էքսպերիմենտալ կորը համապատասխանում է տվյալ խնդրադրման դեպքում տատանման ամպլիտուգայի և ժամանակի միջև ստացված կապին։

ЛИТЕРАТУРА

- 1. Поливанов К. М., Жарков Ф. П., Соколов В. А. Параметрон с ферроматнитными сердечинками, Изв. ВУЗ СССР, Радиотехника, Т. У., № 4, 5, 1962.
- 2 Тогсами Хиротака. Анализ колебаний параметрона путем исследования стационарного состояния. Параметроны, кинга 1, ЦБТИ, М., 1962.
- 3. Боголюбов Н. Н., Митропольский Ю. А. Асимптотические методы в теории пелинейных колебании. Физматина, 1958.